

## نانوکامپوزیت‌های پلیمری ضدحریق بر پایه‌ی آمونیوم پلی‌فسفات: تهیه، خصوصیات و کاربردها

حسن فتاحی، مهدی امانی، یونس موسائی اسکوئی

پژوهشکده علوم و فناوری شمال غرب، دانشگاه صنعتی مالک اشتر، ارومیه

### چکیده

یک ماده دیرسوز عمدهاً مشکل از دیرسوز کننده‌های آلی و معدنی است. اکثر سیستم‌های دیرسوز کننده مشکلاتی مانند مقاومت ضعیف نسبت به آب، سازگاری کمتر با زمینه پلیمری، سمی بودن، تخریب حرارتی ضعیف و نرم بودن دارند. این عیوبها ویژگی‌های دیرسوزی کامپوزیت‌های پلیمری را تحت تأثیر قرار می‌دهند. آمونیوم پلی‌فسفات یک نمک معدنی پلی‌فسفریک اسید و آمونیاک است که می‌تواند به دو صورت زنجیری و یا شاخه‌ای وجود داشته باشد. آمونیوم پلی‌فسفات به عنوان ماده دیرسوز کننده، مزایایی مانند محتوای بالای فسفر و نیتروژن، اثر همیاری فسفر-نیتروژن، بازده ضد حریقی بالا، دمای تخریب بالا، حلالیت کمتر، قابلیت پراکنده شدن خوب و پایداری شیمیایی دارد. همچنین این ماده می‌تواند با رنگها و یا با مواد لاستیکی و پلاستیکی بدون تأثیر گذاشتن روی ویژگی‌های فیزیکی اصلی‌شان، اختلاط بسیار خوبی داشته باشد. از آنجایی که آمونیوم پلی‌فسفات عامل آب زدای بسیار قوی را توسط پلی‌فسفریک اسید تولید می‌کند، می‌تواند نقش بسیار مهمی را در دیرسوزی ایفا نماید. این عامل آب زدایی باعث می‌شود تا تشکیل پسماند کردن در سطح رزین پلیمری پیشرفت کرده و بیشتر شود. پسماند کردنی حاوی فسفر روی سطح را پوشش داده و مانع از نفوذ اکسیژن و گسترش گازهای قابل اشتعال می‌شود. در این مقاله معرفی مرواری، پس از معرفی ساختار و ویژگی‌های آمونیوم پلی‌فسفات، نمونه‌هایی از نانوکامپوزیت‌های پلیمری ضدحریق مانند پلی‌بروبیلن، پلی‌اتیلن وینیل استات، پلی‌اورتان، پلی‌لاکتاید، نایلون ۶، پلی‌اکریلونیتریل-بوتادی‌ان-استایرن و پلی‌وینیل‌الکل بر پایه آمونیوم پلی‌فسفات به همراه روش‌های تهیه و کاربردها مورد بررسی قرار گرفته است.

**واژه‌های کلیدی:** نانوکامپوزیت پلیمری، آمونیوم پلی‌فسفات، ضدحریق، پسماند کردنی

fattahi@mut.ac.ir

پلیمری حاصل شود. در این مقاله معرفی، تأثیر دیرسوزکننده‌ی آمونیوم پلی‌فسفات در بسترهای پلیمری مختلف مورد بحث و بررسی قرار گرفته است.

**۲- آمونیوم پلی‌فسفات (APP): ساختار و ویژگی‌ها**  
فرمول شیمیایی آمونیوم پلی‌فسفات (APP) به صورت  $[NH_4 PO_3]n$  می‌باشد که نشانگر این است که هر مونومر شامل ریشه‌ی ارتوفسفات با یک اتم فسفر به همراه سه اکسیژن و یک بار منفی خنثی شده توسط یون آمونیوم است که در شکل ۱ ساختار آن نشان داده شده است. در ساختار شاخه‌ای، بعضی مونومرها آمونیوم خود را از دست داده و در عوض به سه مونومر دیگر متصل می‌گردند. خصوصیات آمونیوم پلی‌فسفات به تعداد مونومرها موجود در هر رشته و نحوه اتصال آنها بستگی دارد. زنجیرهای کوتاه‌تر حساسیت بیشتری به آب داشته و پایداری دمایی کمتری نسبت به زنجیرهای بلندتر دارند، اما زنجیرهای پلیمری کوتاه محلول‌تر می‌باشند. همچنین با توجه به درجه پلیمریزاسیون، آمونیوم فسفات می‌تواند به عنوان عامل کیلیت کننده برای نگهداری یونهای فلزی معین حل شده در حلال عمل کند. آمونیم پلی‌فسفات به عنوان یک افزودنی غذایی، ماده امولوسیون کننده و یا به عنوان کود استفاده شود.

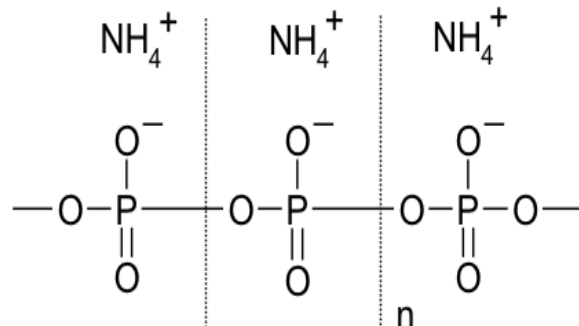
**۱- مقدمه**  
در کنار مزایای بسیار گستردگی که پلیمرهای سنتزی در زندگی روزمره جامعه دارند، این مواد دارای یک ایراد اساسی هستند و آن خاصیت اشتغال‌پذیری بسیار بالای اغلب پلیمرهای سنتزی می‌باشد. یکی از راههای غلبه بر این مشکل، تهیه نانوکامپوزیت‌های پلیمری ضدحریق می‌باشد. نانوکامپوزیت‌ها عموماً از دو فاز تشکیل شده‌اند که فاز اول پایه یا زمینه نانوکامپوزیت محسوب می‌شود و ممکن است از جنس پلیمر، فلز، سرامیک و یا خاکهای معدنی باشد. فاز دوم نیز ذراتی در مقیاس نانومتری (۱-۱۰۰ nm) می‌باشد که بعنوان تقویت کننده به منظور اهداف خاصی از قبیل استحکام، مقاومت، هدایت الکتریکی و خواص مغناطیسی در درون فاز اول (زمینه) توزیع می‌شوند [۱].

در بین نانوکامپوزیت‌ها، بیشترین توجه به نانوکامپوزیت‌های پایه‌ی پلیمری معطوف است. از دلایل گسترش وسیع نانوکامپوزیت‌های پلیمری، خواص بنظریر مکانیکی، شیمیایی و فیزیکی آنهاست. نانوکامپوزیت‌های پلیمری عموماً دارای استحکام بالا، وزن کم، پایداری حرارتی بالا و مقاومت شیمیایی بالای هستند. با افزودن درصد کمی از نانوذرات به یک پلیمر خالص، استحکام کششی و ظرفیت یانگ افزایش چشمگیری پیدا می‌کنند. در کنار این خصوصیات افزایش یافته، دیرسوزی هم می‌تواند مد نظر باشد که از وارد ساختن یک تقویت کننده در فاز زمینه‌ی

اولین مثال در مورد کاربرد آمونیوم پلی فسفات در زمینه‌ی دیرسوزی کامپوزیتها اثر همیاری بین گرافیت ورقه شده و آمونیوم پلی فسفات در مورد پلی‌لاکتیک اسید دیرسوز شده است. بازده مقاومت حرارتی پلی‌لاکتیک اسید (PLA) دیرسوز شده با آمونیوم پلی فسفات به تنها ۵٪ نسبتاً پایین می‌باشد. بنابراین ضروری است که یک افزودنی هم یار با بازده نسبتاً بالا انتخاب شود. ضمناً تعداد بسیاری از مطالعات پیشنهاد داده است که تلفیق APP و گرافیت ورقه شده (Expanded Graphite) (EG) می‌تواند اثر مقاومت حرارتی نسبتاً زیادی را مهیا نماید [۵-۳]. با این حال، مطالعات زیادی در مورد PLA و این اثر همیاری بین APP و EG گزارش نشده بود که بالاخره در این کار Xuan Lee و همکارانش، APP و EG به درون PLA برای توسطه بهود ویژگی‌های دیرسوزی و بازده وارد شد [۶].

همیاری بین APP و EG توسط مکانیزم دیرسوز کنندگی تحت منابع گرما توضیح داده می‌شود. آمونیوم پلی فسفات به عنوان یک منبع اسید، تجزیه شده و سپس لایه پیروفسفات یا پلی-فسفات را روی سطح زیرلایه برای محافظت مواد درونی شکل می‌دهد. در ضمن، این محصولات تخریب زمینه را برای ایجاد ترکیبات چرخه‌ای پایدار حرارتی مانند پسماند ذغالی در دمای بالا کاتالیز می‌کند. کربن در EG با سولفوریک اسید واکنش می‌دهد و سپس گازها را به گرافیت ورقه شده و قسمت زغال حفره‌ای و پوسته نیمه گرم شده آن رها می‌کند تا از خروج گرما از مواد سوبسترا جلوگیری به عمل آورد [۵-۶]. شکل ۲ مکانیزم دیرسوزی PLA/APP/EG را نشان می‌دهد. ابتدا EG تخریب شده، ورقه شده و سپس با جریان PLA/APP مهاجرت می‌نماید. سپس گرمای موجود به تخریب APP روی می‌آورد، که نتیجه‌اش تولید اسیدهای پلی‌فسفریک و الترافسفریک برای کاتالیز کردن PLA به تشکیل پسماند ذغالی است. در طی تخریب EG و H<sub>2</sub>O، CO<sub>2</sub>، NH<sub>3</sub>، SO<sub>2</sub>، APP، گازهای غیر قابل احتراق مثل مثلاً H<sub>2</sub>O، NH<sub>3</sub>، SO<sub>2</sub>، APP، چگال و ضخیم و پیوسته می‌شوند. سپس محصولات حاصل از تخریب رها و آزاد سازی می‌شود. سپس محصولات حاصل از تخریب جریان پلیمری PLA/APP، مثل پلی فسفات چسبنده بین ورقه‌های گرافیت را فراهم می‌کند که منجر به تشکیل لایه‌های زغالی چگال و ضخیم و پیوسته می‌شوند. این لایه‌ها از تخریب بیشتر PLA و EG ممانعت بعمل آورده و تبدیل به بخار شدن اسیدهای پلی‌فسفریک و اولترافسفریک را در دماهای بالا بسیار پایین می‌آورند.

در یک نمونه دیگر از کاربردهای APP بعنوان دیرسوز کننده در مورد پلی‌لاکتیک اسید، از تلفیق APP با MMT در نسبت وزنی ۱۰ به ۱ استفاده شده است [۷]. در این کار، فیلمهای پلی‌لاکتیک اسید شکل گرفته و دیرسوز کننده‌ها اضافه شده‌اند. در این کار پژوهشی، نانوکامپوزیتها پلی‌لاکتیک اسید خود تقویت شده (self resistant poly lactic acid composites) (PLA-) (SRC) با دیرسوز کننده‌های مختلف تهیه شده است که با کدهای PLA-SRC\_FR16 و PLA-SRC\_FR10 شکل ۳ تصاویر میکروسکوپ نوری مربوط به برش مقطعی این نانوکامپوزیتها نشان داده شده است.



شکل ۱. ساختار آمونیوم پلی فسفات [۲]

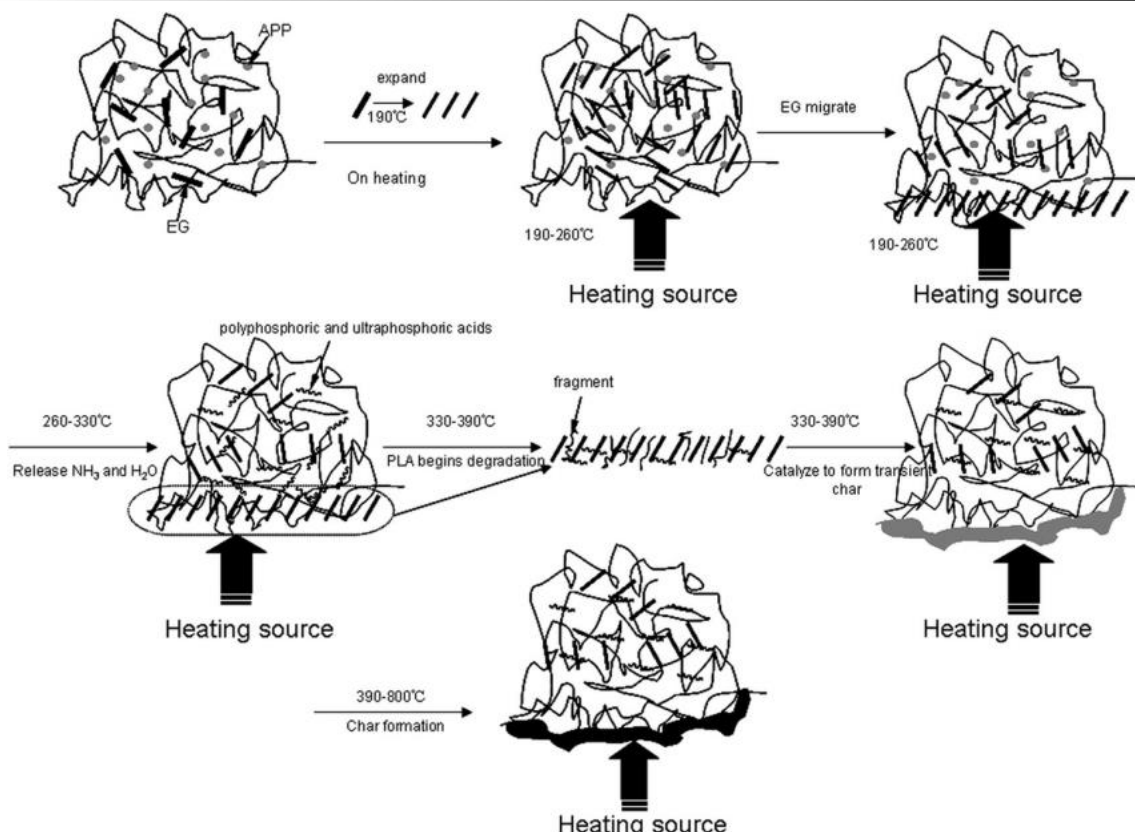
آمونیوم پلی فسفات همچنین به عنوان بازدارنده اشتعال در بسیاری از کاربردها مانند نقاشی‌ها و در انواع گوناگون پلیمر نیز استفاده می‌شود که در این میان مهمترین آن پلی‌الفین‌ها و به ویژه پلی‌پروپیلن است که در آن آمونیوم پلی فسفات به عنوان بخشی از سیستم‌های آماس و متورم شده است. در تجارت، آمونیوم پلی فسفات به عنوان بازدارنده احتراق در پلیمرهایی با زنجیره‌های بلند با یک تبلور ویژه استفاده می‌شود. آنها در ۲۴۰ درجه سانتیگراد شروع به تجزیه شدن و تولید آمونیاک و فسفریک اسید می‌کنند. فسفریک اسید به عنوان یک کاتالیست اسیدی در آب زدایی پلی‌الکل‌های با پایه‌ی کربن مانند سلولز در چوب عمل می‌کند. فسفریک اسید با گروههای الكل برای تشكیل گروههای نایپایدار گرمایی (استرهای فسفات) واکنش می‌دهد. استرها برای رهایی کربن دی اکسید و بازسازی کاتالیزور فسفریک اسید تجزیه می‌شوند. در فاز گازی، انتشار دی اکسید کربن غیر قابل اشتعال برای رقیق کردن اکسیژن هوا و اشتعال محصولات تجزیه‌ای مواد در حال سوختن کمک می‌کند. در حالت متراکم شده، زغال کربنی حاصله به محافظت پلیمر زمینه از حمله اکسیژن و گرمای تابشی کمک می‌کند.

بسته به درجه ی پلیمریزاسیون، دو خانواده ی اصلی در آمونیوم پلی فسفات وجود دارد: فاز کریستالی شماره یک و فاز کریستالی شماره دو.

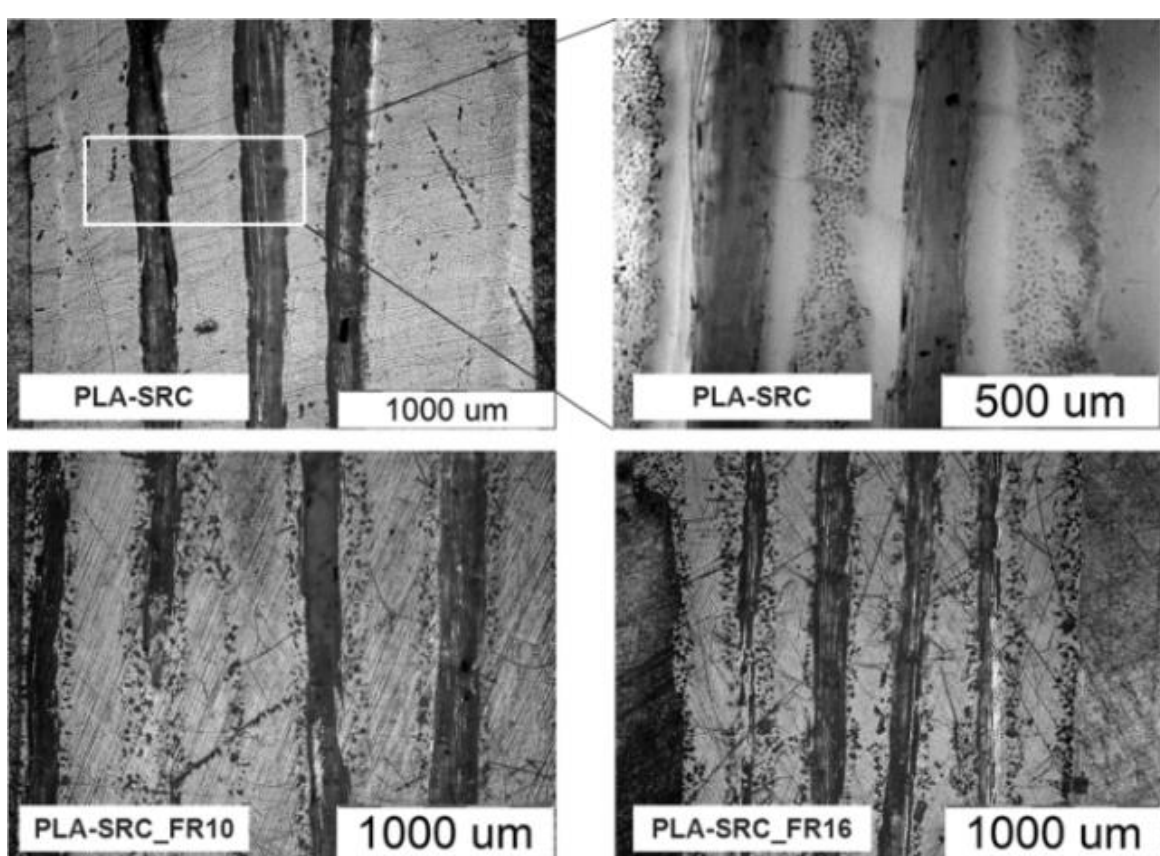
آمونیوم پلی فسفات فاز یک، یک زنجیره ی کوتاه و مستقیم دارد (n کمتر از ۱۰۰)، که این حساس تر به آب بوده و ثبات گرمایی کمتری دارد، که در واقع در درجه ی بالای ۱۵۰ شروع به تجزیه شدن می‌کند.

آمونیوم پلی فسفات فاز دو دارای درجه ی پلیمریزاسیون بالای است (n بزرگتر از ۱۰۰۰) و در مرحله‌ی شاخه‌ای شدن اشیاع می‌گردد و بازدارنده‌ی شعله‌ی غیر هالوژنی با کیفیت بالاست. آمونیوم پلی فسفات فاز ۲ ثبات گرمایی بالاتر (تخریب در دمایی حدود ۳۰۰ درجه سانتیگراد) و حلalیت آبی کمتری نسبت به نوع یک دارد [۲].

۳- مواردی از نانوکامپوزیتها پلیمری ضدحریق بر پایه آمونیوم پلی فسفات نانوکامپوزیت پلی‌لاکتیک اسید/ پلی‌آمونیوم فسفات (PLA/APP)



شکل ۲. مکانیزم دیرسوزی کامپوزیت [۶] PLA/APP/EG



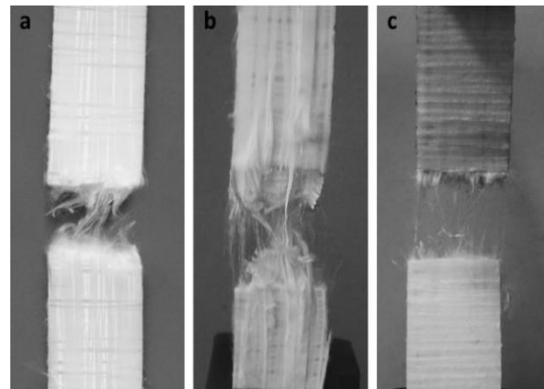
شکل ۳. تصاویر میکروسکوپی نوری برشهای عرضی پولیش شده از PLA-SRC ها [۷].

تحت فشار) است. این فرآیند شامل سیم پیچ کردن رشته های تحت تنش با استفاده از یک سنبه غلطکی است)[۸].  
ب) قالب زدن فشرده پی در پی

#### ۴- نانوکامپوزیتها بر پایه مخلوطهای پلی استر-کتان و سیستم ضد حریق کیتوسان/سیلیکا / آمونیوم پلی فسفات HITOSAN/SILICA/APP)

مخلوطهای پلی استر-کتان و سیستم ضد حریق کیتوسان/سیلیکا/ آمونیوم پلی فسفات از طریق ترسیب و نشاندن لایه به لایه (LBL) به منظور افزایش پایداری گرمایی در هوای و وزگاهی دیرسوزی مخلوطهای پلی استر-کتان تهیه شده است [۹]. بدین منظور، دو تا قسمت باردار شده مثبت، یعنی مولکولهای کیتوسان و نانوذرات سیلیکا، با APP باردار شده به صورت منفی کوپل شده است. جفت کیتوسان-APP یک سیستم شبه آماسه یا متورم شده را ارائه می‌دهد که در آن کیتوسان هم می‌تواند بعنوان منبع کربن و هم عامل کف کننده عمل نماید و این در حالی است که APP قادر است تا بصورت مستقیم و در جا فسفریک اسید را در دماهای بالا تولید نماید. پس بعنوان یک نتیجه، کیتوسان در حضور این منبع اسیدی آب زدایی شده و تولید بخار آب می‌کند و ضمناً تمایلش به تشکیل زغال افزوده می‌شود و بنابراین مقاومت پلیمر به احتراق را بسیار افزایش می‌دهد. از طرف دیگر، جفت سیلیکا-APP اثر مشترک اسید (تولید شده توسط APP) و نانوذرات سیلیکا را به کار می‌گیرد. اولی (فسفریک اسید) می‌تواند کربونیزیون (تبديل به زغال) پلیمر را باعث شود و دومی (نانوذرات سیلیکا) می‌تواند به عنوان مانع یا سد سطح فیزیکی (عایق حرارتی) باشد تا انتقال حرارت، سوخت و اکسیژن را بین شعله و پلیمر محدود نماید.

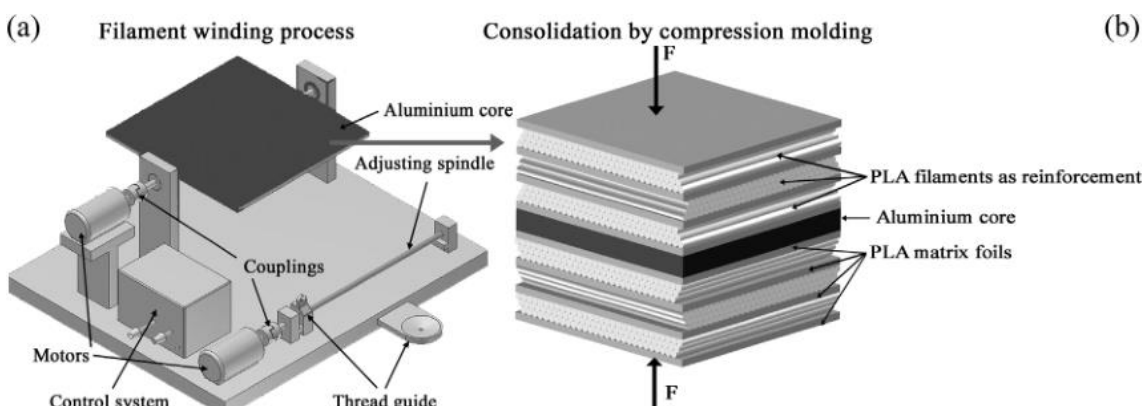
مشخصات مکانیکی هم که توسط تست کشش گرفته شده است، این نکته را می‌رساند که فایبرهای ایجاد شده توسط نمونه-PLA\_SRC\_FR16 بسیار مقاوم هستند و تا حد کشیده شدن های بسیار توانسته است الیاف را در کنار یکدیگر نگه دارد که این ویژگی تأثیر همان عامل زغال شوندگی متورمی است که با پلیمر مخلوط شده و تشکیل چنین لایه ای فشرده ای کرده است و در شکل ۴ نیزشان داده شده است.



شکل ۴. تصاویر گرفته شده از کشیدگی نمونه ها [۷]  
a) PLA-SRC, (b) PLA-SRC\_FR10 and (c) PLA-SRC\_FR16)

شکل ۵ ساختار لایه های ایجاد شده پلی لاکتیک اسید و نحوه تهیه کامپوزیتها PLA-SRC می باشد که توسط دو روش زیر ساخته شده اند:

(الف) فرآیند رشته سیم پیچ (رشته سیم پیچ به طور عمده یک تکنیک ساخت برای تولید ساختارهای با انتهای باز (سیلندر) و یا بسته (لوله ها یا مخازن



شکل ۵. ساختار لایه های ایجاد شده پلی لاکتیک اسید و نحوه تهیه کامپوزیتها [۷] PLA-SRC

تجهیزات پژوهشی به دلیل خصوصیات فیزیکی و مکانیکی خوب و فرآیند پذیری بهترشان بخارتر مقاوم بودن به مواد شیمیایی مختلف کاربرد وسیعی دارند[۱۰،۱۱]. کوپلیمرهای EVA با یک سرعت نسبتاً بالا، نشر-دود نسبتاً زیاد و بدون بر جا گذاشتن پسماند زغالی می‌سوزد که کاربرد آنها را محدود می‌سازد[۱۱-۱۲]. برای حل این مشکل، یکی از راهها، وارد ساختن مواد دیرسوزکننده به

۵- نانوکامپوزیتها ضد حریق پلی اتیلن وینیل استات / آمونیوم پلی فسفات (PEVA/APP)

کوپلیمرهای اتیلن وینیل استات (EVA)، بسته به مقدار وینیل استات می‌توانند به عنوان ترمoplastیک یا الاستومر استفاده شوند. EVA های با مقادیر متفاوت از وینیل استات بصورت گستردگی بسیاری از زمینه ها مانند مواد عایق، چسب های گرماده و

خصوصیات دیرسوزی دارند. برای بررسی نتایج حاصل از دیرسوزی، نانوساختارهای مختلف مورد مطالعه قرار گرفته است و اینکه کدام نانوساختار تأثیر زیادی در دیرسوزی داشته و دلیلش چه بوده است، تصاویر میکروسکوپ الکترونی روبشی (SEM) سل‌های پلی اورتانی تهیه شده است. همانطور که در شکل ۶ مشخص است، اندازه سل‌های تشکیل شده متفاوت می‌باشدند. ورود نانوذرات به ساختار پلی اورتان باعث شده است که اندازه سل‌ها تا حدی کوچکتر شوند ولی این کوچکتر شدن در مورد مونت موریلولنیت نسبت به زئولیت و روی اکسید بیشتر اتفاق افتاده است. دلیل این موضوع شاید این باشد که لایه‌های مونت موریلولنیت (MMT) می‌توانند به طور موثر ویسکوزیته‌ی مواد را افزایش دهند و ساختار فشرده‌ای را شکل دهند. در میان این سه نانوساختار ذکر شده، زئولیت نیمه متخلخل می‌تواند پیک نرخ گرمای آزاد شده (PHRR) پلی اورتانها را با APP و DMMP کاهش دهد که دلیلش به مساحت سطح بسیار بالای زئولیت متخلخل نسبت داده می‌شود.

۷- نانوکامپوزیتها ضد حریق پلی آمید ۶ / آکریلونیتریل بوتاکس استایرن / آمونیوم پلی فسفات (PA-6/ABS/APP) ترکیبات نایلون (PA-6) و آکریلونیتریل- بوتاکس ا- استایرن (ABS) دارای کاربردهای تجاری مختلفی بوده و پتانسیل دست یابی به موادی با قابلیت‌های بالا را دارند. اشتعال زایی ABS برنامه‌های کاربردی گستردۀ این کوپلیمر با ارزش را در رشته‌های متنوع محدود کرده است. بنابراین، از همکاری خاک رس و APP به عنوان عامل دیرسوزی و تقویت مقاومت در برابر آتش ABS/PA6 استفاده شده است [۲۵]. پراکندگی خودبخود خاک رس در مخلوط ABS/PA6 برای کنترل خاک رس در یکی از فازها مورد استفاده قرار گرفت. روشنی که در آن پلی (استایرن - مالئیک اندیrid) که سازگار با ABS و PA6 است، در ابتدا با خاک رس واکنش داده و سپس با ABS/PA6 مخلوط می‌شود که این عمل ورود خاک رس را در سطح مشترک کنترل می‌نماید.

زغال آماسه که از تجزیه APP و واکنش بین APP و PA6 طی یک احتراق به دست آمده است، می‌تواند توسط ورقه‌های خاک رس و به منظور حفاظت لایه در مقابل گرمای و اکسیژن تقویت شود و خروج مواد فرار اشتعال پذیر تولید شده طی تخریب پلیمر را کاهش دهد.

تشکیل یک ساختار شبکه‌ای می‌تواند مولکولهای اشتعال پذیر را مخفی کرده و نفوذ اکسیژن را محدود نماید و در پی آن تقویت دیرسوزی مواد در برابر شعله انجام پذیرد. برای ترکیبات با فاز PA6 پراکندگ و مرکز خاک رس و APP در فاز PA6، زمانی که نمونه‌ها شروع به سوختن می‌کنند، تخریب حرارتی APP و واکنش بین APP و PA6، APP و خاک رس شروع به تشکیل مواد اشتعال پذیر قبل از تخریب حرارتی (TGA) تأیید شده است. تجمع زیاد ورقه‌های خاک رس در فاز PA6 می‌تواند یک ساختار شبکه‌ای ایجاد کرده و در نهایت باعث افزایش چسبناکی فاز PA6 شود و در نتیجه تورم فاز PA6 مهار شود. علاوه بر آن، ورقه‌های

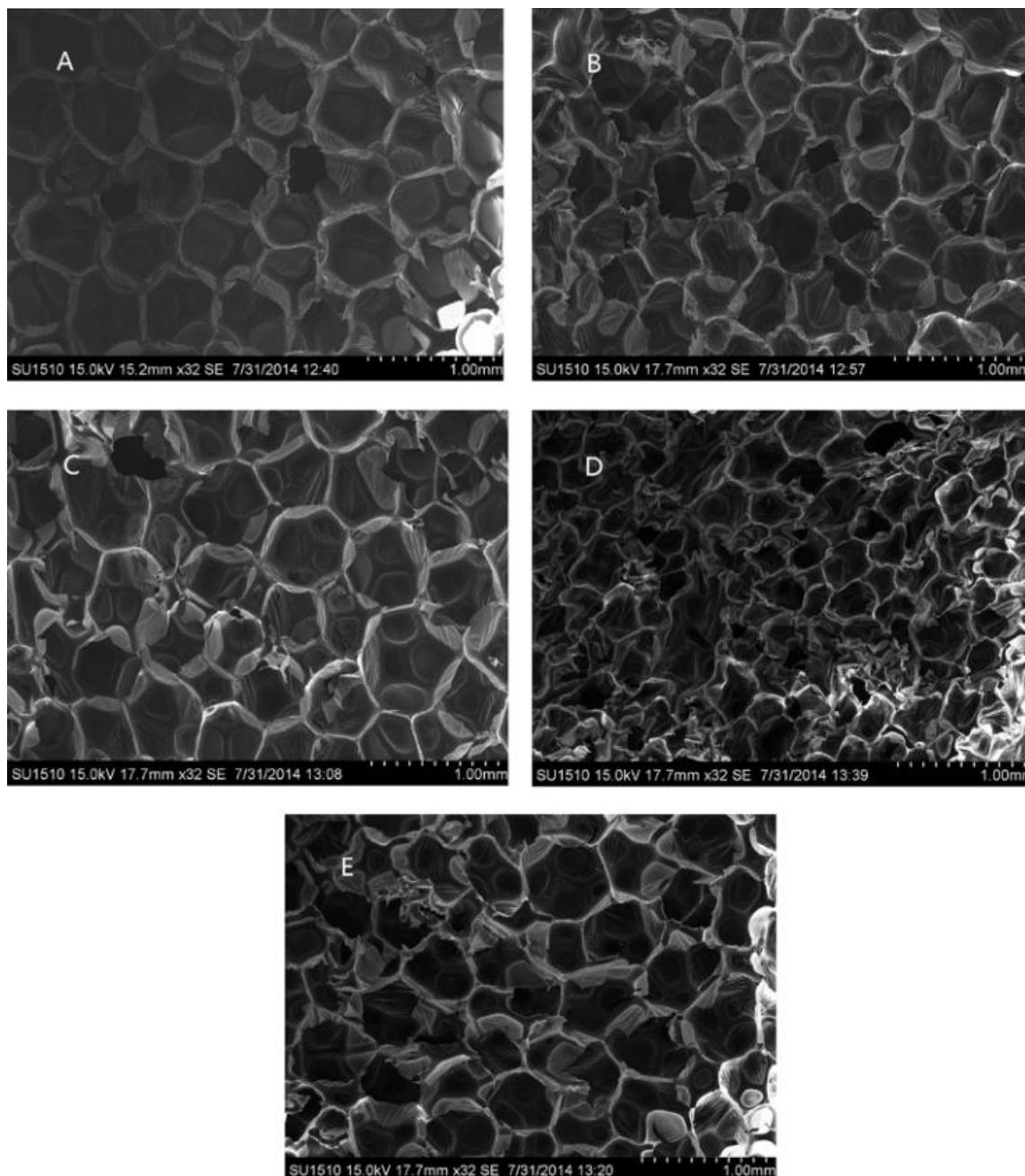
درون مواد کامپوزیتی EVA می‌باشد [۱۶-۱۴]. تلاش‌های بسیار زیادی برای بدست آوردن دیرسوزکننده‌های ایمن و دوستدار محیط زیست انجام گرفته است و هر دوی هیدروکسیدهای فلزی و دیرسوزکننده‌های متورم (IFR) بخاطر اینکه عاری از هالوژن می‌باشند گزینه‌های خوبی هستند. هیدروکسیدهای فلزی ویژگیهای مکانیکی EVA را به این دلیل که سازگاری ضعیفی با آن دارد و نیاز به استفاده از این هیدروکسیدها در ساختار می‌باشد تقلیل می‌دهند [۱۵-۱۳]. معمولاً IFR های قدیمی‌تر متشکل از سه جزء می‌باشند: آمونیوم پلی فسفات (APP)، پنتاکریتیبول (PER) و ملامین (MEL) که بصورت گستردۀ مطالعه شده‌اند [۱۶] و خصوصیات دیرسوزی بسیار عالی نشان داده و توانایی بالایی در تشکیل پسماند زغال دارند. در سالهای اخیر، مشتقات تری آزین که بعنوان عوامل زغال کننده‌ی موثر در IFR ها بررسی شده‌اند استفاده شده است. بخاطر حضور نیتروژن سه تایی در حلقه‌های تری آزین، توانایی زغال کننده‌ی عالی در مشتقات تری آزین یافت شده است [۱۷]. در یک کار پژوهشی، عامل زغال کننده‌ی موثر طراحی و سنتز شده است که یک مشتق تری آزین الیگومریک (CNCA-DA) محتوی آنیلین، حلقه‌های تری آزین و گروههای اتیلن دی آمین می‌باشد که انتظار می‌رود پایداری حرارتی بسیار خوب و توانایی تشکیل زغال را بخاطر حلقه‌های سخت بنزن و تری آزین داشته باشد [۱۸].

#### ۶- نانوکامپوزیتها ضد حریق پلی اورهتان / آمونیوم پلی فسفات (PU/APP)

پلی اورتان به صورت گستردۀ در بسیاری از زمینه‌ها کاربرد دارد که در آن فوم پلی اورتانی سفت و سخت (PRUF) یک نوع از ماده‌ی عایق ساختمانی عالی با ویژگیهای مکانیکی مطلوب است [۱۹]. با این حال، کاربرد PRUF بخاطر ویژگیهای اشتعال پذیری اش محدود شده است. گزارش شده است که تخریب پیوند اورهتان PRUF در درجه سانتی گراد شروع می‌شود [۲۰-۲۰۰ در ۲۰۰-۲۰۰ درجه سانتی گراد]. به منظور دستیابی به دیرسوزی، نکه مهم این است که محصول قابل اشتعال مانند انواع گازهای قابل سوختن کاهش یابد و نیز نرخ آزادسازی گازهای قابل اشتعال کم شود. دیر سوز کننده‌های فسفری می‌توانند نقش بسیار مهمی در فاز متراکم و یا فاز گازی داشته باشند. در میان دیرسوزکننده‌های فسفری، APP اثر بسیار مهمی در فاز متراکم شده دارد و می‌تواند محصولات اجزاء قابل اشتعال را کاهش داده و به تشکیل دادن لایه‌ای از زغال محافظت کمک نماید [۲۲]. از سایر دیرسوزکننده‌های فسفاتی می‌توان دی متیل متیل فسفونات (DMMP) را ذکر کرد که در فاز گازی بیشتر تأثیر داشته و مورد استفاده قرار می‌گیرد. در مطالعه‌ای که توسط Wang و همکارانش [۲۴] در این زمینه صورت گرفته، اثر دیرسوزی ساختارهای نانویی روی اکسید، زئولیت و مونت موریلولنیت را به همراه آمونیوم پلی فسفات و دی متیل متیل فسفونات مورد بررسی قرار گرفته است. این نانوساختارها عملکردهای سوختن متفاوتی را نسبت به همدیگر نشان دادند و در کل، این نتیجه حاصل شد که هر کدام از سیستمها به نحوی توانستند نانوکامپوزیتها را تولید نمایند که

در ترکیباتی با فاز PA6 و خاک رس که فاز PA6 در ورقه‌های خاک رس بصورت پراکنده و جدا از هم قرار گرفته، در قسمت تحتانی، لایه‌ی متورم شده باعث ایجاد منافذ کوچک و ترکهایی بر روی سطح پسمندی‌های زغال شده و از گسترش آن ممانعت می‌کند که این باعث زوال خواص دیرسوزی در برابر شعله می‌شود. در ترکیباتی با فاز PA6 پیوسته، وارد کردن خاک رس به ترکیب باعث پیشرفت قابل توجه دیرسوزی می‌شود. تجمع ورقه‌های خاک رس در سطح زغال آماسه و شیکه ایجاد شده توسط خاک رس در فاز PA6 پیوسته نقش مهمی را در تقویت خواص دیرسوزی ایفا می‌کند.

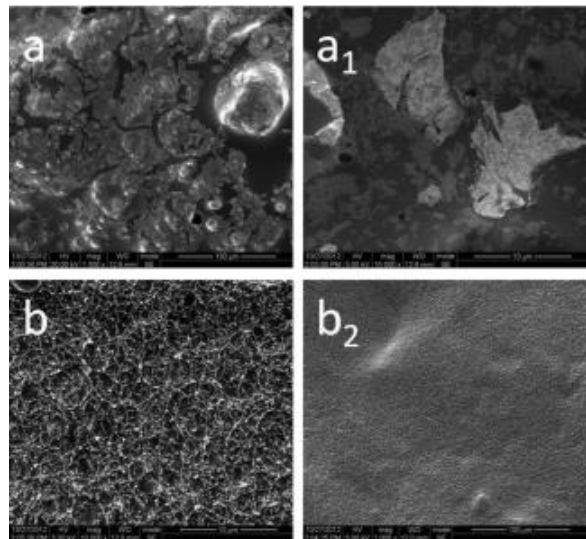
خاک رس زیر زغال آماسه آنقدر متراکم می‌شوند که از گسترش آن ممانعت می‌گردد. در ترکیباتی با فاز PA6 پیوسته در ورقه‌های خاک رس موجود در سطح زغال آماسه، فاز PA6 پیوسته می‌تواند کیفیت آن را افزایش داده و در نتیجه باعث تشکیل لایه‌ی دیرسوز ممتد و فشرده شود. به علاوه، شبکه تشکیل شده از خاک رس در فاز PA6 پیوسته باعث ممانعت تخریب زنجیره مولکولی و نفوذ اکسیژن و در پی آن تقویت دیرسوزی در برابر شعله می‌شود. بنابراین اثر همیاری بین خاک رس و APP در ترکیباتی با فاز پیوسته از PA6 مشاهده می‌شود.



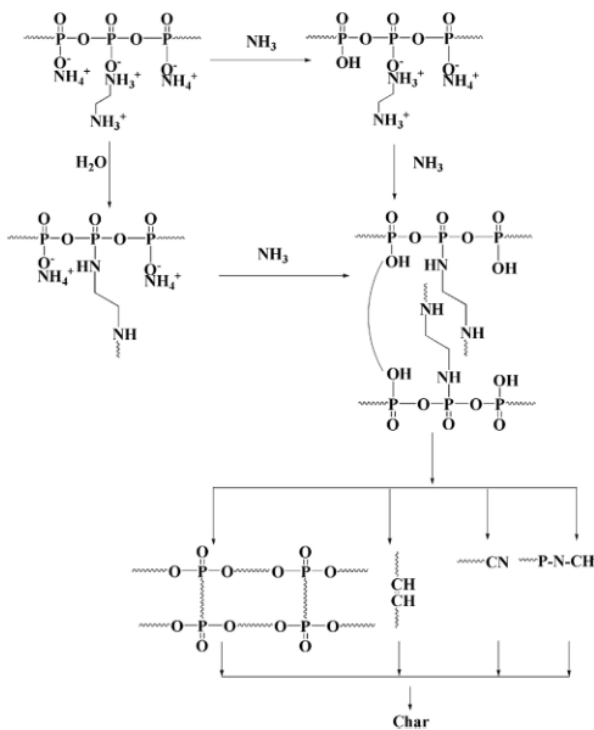
شکل ۶. ساختار سل‌های سیستم‌های پلی اورتانی با دیرسوزکننده‌های متفاوت [۲۴]:

(A: PU; B: DMMP/APP/PU; C: ZnO/DMMP/APP/PU; D: MMT/DMMP/APP/PU; E: Zeolite/DMMP/APP/PU)

غیر قابل نفوذ شده و از گسترش حریق جلوگیری بعمل آورده شود.



شکل ۷. تصاویر SEM (a \_ 1000, a1 \_ 10,000) (b \_ 1000, b1 \_ 10000) پس از سوختن [۳۵].



شکل ۸. مکانیزم زغال شوندگی در طی احتراق MAPP [۳۵].

#### ۱۰- منابع

- Erik T., Chunyu L. and Tsu-Wei Ch., Nanocomposites in context, Comp. Sci. Techn., 65, 491-516, 2005.
- <http://www.sinoharvest.com/products/Ammonium-Polyphosphate.shtml>

#### ۸- نانوکامپوزیت ضد حریق پلی پروپیلن / آمونیوم پلی فسفات (PP/APP)

پلی پروپیلن (PP) عمدتاً به خاطر خواص بینظیرش در بسیاری از زمینه‌ها، مانند عایق‌های الکتریکی، مقاومت در برایر خودگی شیمیایی، ماشین‌کاری و ... استفاده می‌شود [۲۹-۲۶]. اشتعال‌پذیری PP برنامه‌های کاربردی آن را در زمینه‌های مربوط به دیرسوزی نظری استفاده در روکش سیم‌های برق و لوازم ساخته شده برای استفاده‌های ساختمانی و اداری محدود می‌کند [۳۰، ۳۱]. برای گسترش کاربردهای پلی پروپیلن، کارهای زیادی در ارتباط با تقویت دیرسوزی انجام گرفته است [۳۲، ۳۳] که در آن IFR به عنوان یکی از عوامل مهم در تخریب کمتر خواص زمینه پلیمری، زیست تخریب پذیری، ایجاد کنندگی دود کمتر و ... شناخته می‌شود [۳۴].

در شکل ۷ تصاویر SEM کامپوزیتهاي PP/APP و کامپوزیتهاي آمونیوم پلی فسفات اصلاح شده (MAPP)/ پلی پروپیلن نشان داده شده است [۳۵]. کامپوزیت PP/MAPP قسمت لایه‌ی زغالی پیوسته‌ی بیشتری را بعد از سوختن در مقایسه با PP/APP بر جای می‌گذارد و لایه‌ی زغالی تشکیل شده توانسته است بطور موثر یک سدی بین کامپوزیت PP/MAPP و آتش فراهم نماید که در نتیجه از مواد موجود در لایه‌ی زیرین محافظت می‌نماید. طبق نتایج آزمون TG - FTIR مکانیزم دیرسوزی شعله هم می‌تواند بصورت زیر خلاصه شود: مرحله‌ی آغازین با رها سازی  $\text{NH}_3$  و  $\text{H}_2\text{O}$  شروع می‌شود. طی فرآیند احتراق، ساختار P-N-C شکل P-OH می‌گیرد و بنابراین پسماند زغالی با ثبات‌تری ایجاد می‌شود. در این مرحله، لایه زغال آماشه شروع به شکل گیری می‌کند. سپس با افزایش دما، قسمتی از ساختارهای P-N-C تحت تأثیر کاتالیتیکی P-OH همراه با رها سازی  $\text{H}_2\text{O}$  و  $\text{NH}_3$  تجزیه می‌شوند که این به نوبه خود منجر به تشکیل آمامسه لایه زغال محکم و متراکم می‌شود. درنهایت، بهترین عملکرد دیرسوزی آمونیوم پلی فسفات اصلاح شده (MAPP) بهدست آمده است. محتمل ترین مکانیزم، برای عملکرد دیرسوزی MAPP در شکل ۸ نشان داده شده است که طی آن آمونیوم پلی فسفات هم با آب و هم با آمونیاک تولید شده در محیط واکنش می‌دهد. وقتی سیستم در مععرض حرارت قرار می‌گیرد، زغال تشکیل شده در حین سوختن سبب شبکه‌ای شدن ساختار APP شده و بنابراین یک لایه متورم محافظت حریق ایجاد می‌نماید و باعث دیرسوزی می‌شود. بنابراین، سیستم های PP/DAPP دیرسوزی آتش موثرتری را نسبت به سیستم های PP/APP نشان می‌دهند.

۹- نتیجه گیری

آمونیوم پلی فسفات بعنوان یک دیرسوزکننده بسیار موثر مورد استفاده قرار می‌گیرد. این ماده یا به تهایی و یا با استفاده از عوامل اصلاح کننده متعدد می‌تواند در بستر پلیمرها قرار گرفته و باعث دیرسوزی پلیمرهای مختلفی از جمله پلی پروپیلن، پلی آمید، پلی اورتان، پلی اتیلن وینیل استات و پلی لاکتیک اسید شود. آمونیوم پلی فسفات معمولاً با ایجاد یک لایه‌ی زغالی دیرسوز در سطح باعث می‌شود سطح، نسبت به ورود اکسیژن

3. Wang J.S., Wang D.Y., Liu Y., Ge X.G., and Wang Y.Z., Polyamide-enhanced flame retardancy of ammonium polyphosphate on epoxy resin, *J. Appl. Polym. Sci.*, 108, 2644-2653, 2008.
4. Qu B.J. and Xie R.C., Intumescence char structures and flame-retardant mechanism of expandable graphite-based halogen-free flame-retardant linear low density polyethylene blends, *Polym. Int.*, 52(9), 1415-1422, 2003.
5. Han Z., Dong L., Li Y., and Zhao H., A comparative study on the synergistic effect of expandable graphite with APP and IFR in polyethylene, *J. Fire. Sci.*, 25, 79-91, 2007.
6. Hongfang Z., Qiliang Z., Juan L., Kang T., Lixin X., and Qing Y., Synergistic effect between expandable graphite and ammonium polyphosphate on flame retarded polylactide, *Polym. Degrad. Stab.*, 96, 183-189, 2011.
7. Feng J., Su S., and Zhu J., An intumescence flame retardant system using *b*-cyclodextrin as a carbon source in polylactic acid (PLA), *Polym. Adv. Technol.*, 22, 1115-1122, 2011.
8. [http://en.wikipedia.org/wiki/Filament\\_winding](http://en.wikipedia.org/wiki/Filament_winding).
9. Federico C., Jenny A., and Giulio M., Layer by Layer ammonium polyphosphate-based coatings for flame retardancy of polyester-cotton blends, *Carb. Polym.*, 88, 1460-1469, 2012.
10. Wu X.F., Wang L.C., Wu C., Yu J.H., Xie L.Y., Wang G.L., and Jiang P.K., Influence of char residues on flammability of EVA/EG, EVA/NG and EVA/GO composites, *Polym. Degrad. Stab.*, 97(1), 54-63, 2011.
11. Jiao C.M. and Chen X.L., Influence of Fumed Silica on the Flame-Retardant Properties of Ethylene Vinyl Acetate/Aluminum Hydroxide Composites., *J. App. Polym. Sci.*, 120, 1285-1289, 2011.
12. Fu M. and Qu B., Synergistic flame retardant mechanism of fumed silica in ethylene-vinyl acetate/magnesium hydroxide blends, *Polym. Degrad. Stab.*, 85, 633-639, 2004.
13. Shi Y.R. Kashiwagi T. Walters RN. Gilman JW. Lyon RE. and Sogah DY., Ethylene vinyl acetate/layered silicate nanocomposites prepared by a surfactant-free method: Enhanced flame retardant and mechanical properties, *Polym.*, 50, 3478-3487, 2009.
14. Zhang Y., Hu Y., Song L., Wu J., and Fang S.L., Influence of Fe-MMT on the fire retarding behavior and mechanical property of (ethylene-vinyl acetate copolymer/magnesium hydroxide) composite, *Polym. Adv. Technol.*, 19, 960-966, 2008.
15. Cardenas M.A., Garcia D.L., Gobernado M.I., Merino J.C., and Pastor J.M., Mechanical and fire retardant properties of EVA/clay/ATH nanocomposites - Effect of particle size and surface treatment of ATH filler, *Polym. Degrad. Stab.*, 93, 2032-2037, 2008.
16. Riva A, Camino G. Fomperie L. and Amigouet P., Fire retardant mechanism in intumescence ethylene vinyl acetate compositions, *Polym. Degrad. Stab.*, 82, 341-346, 2003.
17. Feng C.M., Zhang Y., Liu S.W., Chi Z.G., and Xu J.R., Synthesis of novel triazine charring agent and its effect in intumescence flame retardant polypropylene, *J. App. Polym. Sci.*, 123, 3208-3216, 2012.
18. Caimin F., Liang M., Wenjing H., and Jianguang L., Flame retardancy and thermal degradation of intumescence flame retardant EVA composite with efficient charring agent, *J. Anal. Appl. Pyrolysis*, 113, 266-273, 2015.
19. Demharter A., Polyurethane rigid foam, a proven thermal insulating material for applications between +130°C and -196°C, *Cryog.*, 38, 113-117, 1998.
20. Bilbao R., Mastral J.F., Ceamanos J., and Aldea M.E., Kinetics of the thermal decomposition of polyurethane foams in nitrogen and air atmospheres, *J. Anal. Appl. Pyrol.*, 37, 69-82, 1996.
21. Hobbs M.L., Erickson K.L., and Chu T.Y., Modeling decomposition of unconfined rigid polyurethane foam, *Polym. Degrad. Stab.*, 69, 47-66, 2000.
22. Jiao L., Xiao H., Wang Q., and Sun J., Thermal degradation characteristics of rigid polyurethane foam and the volatile products analysis with TG-FTIR-MS, *Polym. Degrad. Stab.*, 98, 2687-2696, 2013.
23. Montaudo G., Puglisi C., Scamporrino E., and Vitalini D., Mechanism of thermal degradation of polyurethanes. Effect of ammonium polyphosphate, *Macromol.*, 17, 1605-1614, 1984.
24. Wei X., Guojian W., and Xiaorui Z., Research on highly flame-retardant rigid PU foams by combination of nanostructured additives and phosphorus flame retardants, *Polym. Degrad. Stab.*, 111, 142-150, 2015.
25. Lu Ch., Liu L., Chen N., Wang X., Yang D., Huang X-H., and Yao D-H., Influence of clay dispersion on flame retardancy of ABS/PA6/APP blends. *Polym. Degrad. Stab.*, 114 ,16-29, 2015.
26. Gao S.L., Li B., Bai P., and Zhang S.Q., Effect of polysiloxane and silane-modified SiO<sub>2</sub> on a novel intumescence flame retardant polypropylene system, *Polym. Adv. Technol.*, 22, 2609-2616, 2011.

27. Chiu S.H. and Wang W.K., Dynamic flame retardancy of polypropylene filled with ammonium polyphosphate, pentaerythritol and melamine additives, *Polymer*, 39, 1951-1955, 1998.
28. Chen X.L., and Jiao C.M., Synergistic effects of hydroxy silicone oil on intumescent flame retardant polypropylene system, *Fir. Saf. J.*, 44, 1010-1014, 2009.
29. Lei Z.Q., Cao Y.M. Xie F., and Ren H., Study on surface modification and flame retardants properties of ammonium polyphosphate for polypropylene, *J. Appl. Polym. Sci.*, 124, 781-788, 2012.
30. Cao K., Wu S.L., Qiu S.L., Li Y., and Yao Z., Synthesis of N-alkoxy hindered amine containing silane as a multifunctional flame retardant synergist and its application in intumescent flame retardant polypropylene, *Ind. Eng. Chem. Res.*, 52, 309-317, 2012.
31. Peng H.Q., Zhou Q., Wang D.Y., Chen L., and Wang Y.Z., A novel charring agent containing caged bicyclic phosphate and its application in intumescent flame retardant polypropylene systems, *J. Ind. Eng. Chem.*, 14, 589-595, 2008.
32. Li B. and Xu MJ., Effect of a novel charring foaming agent on flame retardancy and thermal degradation of intumescent flame retardant polypropylene, *Polym. Degrad. Stab.*, 91, 1380-1386, 2006.
33. Camino G., Grassie N. and McNeill I., Influence of the fire retardant, ammonium polyphosphate, on the thermal degradation of poly (methyl methacrylate), *J. Polym. Sci. Polym. Chem. Ed.*, 16, 95-106, 1978.
34. Han Z.D., Study on the thermal degradation of mixtures of ammonium polyphosphate and a novel caged bicyclic phosphate and their flame retardant effect in polypropylene, *Polym. Degrad. Stab.*, 97, 632-637, 2012.
35. Zhu-Bao Sh., Cong D., Yi T., Ming-Jun Ch., Li Ch., and Zhong W., Flame retardation of polypropylene via a novel intumescent flame retardant: Ethylenediamine-modified ammonium polyphosphate, *Polym. Degrad. Stab.*, 106, 88-96, 2014.